

不織布の摩擦特性と複合ジオテキスタイルの引抜き抵抗特性（続報）

長崎大学工学部
長崎大学工学部

学○大黒 克樹
正 棚橋 由彦

長崎大学工学部
三井石化産資（株）

学 松尾 康成
正 高岡 恭三

1.はじめに

急勾配補強盛土等において不織布に排水材としての機能を期待した、不織布とジオテキスタイルを併用する複合ジオテキスタイルの適用例が増えつつある。しかし、不織布と試料の摩擦特性や複合ジオテキスタイルの引抜き抵抗特性は、未だ十分把握されてないのが実情である。そこで本研究では、平成6年度に引続き新たな不織布と試料を用い、一面せん断試験と複合ジオテキスタイルの引抜き試験を実施したので、その結果の一部をここに報告する。

2.一面せん断試験

2.1 実験装置ならびに実験材料

一面せん断試験機のせん断箱の拡大図を図-1に示す。実験材料として、不織布にはSN, TE, TU, TR、試料には豊浦砂($D_r=30\%, 80\%$)、石炭灰($\rho_d=0.818 \text{ gf/cm}^3, 0.916 \text{ gf/cm}^3$)、しらす($D_r=30\%, 80\%$)、有明粘土(含水比 $w=100\% \sim 130\%$)を用いた。

2.2 実験方法ならびに実験条件

不織布と試料の境界をせん断面として実験を行った(図-1参照)。なお、実験条件は定圧せん断試験の鉛直上載圧 σ を $0.35, 0.71, 1.42, 2.12 (\text{kgf/cm}^2)$ とし、せん断速度は 1 mm/min で一定とした。

2.3 実験結果と考察

実験結果の一部として、しらす($D_r=30\%, 80\%$)と有明粘土の c_0, c と ϕ_0, ϕ を表-1に、 $c_0/c, \tan \phi_0/\tan \phi$ を図-2に示す。なお、 c, ϕ は試料の粘着力と内部摩擦角を、 c_0, ϕ_0 は不織布と試料の境界面のそれらを意味する。

境界粘着力 c_0 は、不織布の種類により $0.027 \sim 0.467 (\text{kgf/cm}^2)$ の範囲にあり、概して小さな値である(表-1)。境界摩擦力 ϕ_0 は、 $19^\circ \sim 44^\circ$ の範囲にあり、上載圧のレベルによるが、境界摩擦抵抗成分の方が境界粘着力成分よりも卓越すると言えよう。

不織布の種類に注目すると、有明粘土との ϕ_0 は不織布の種類による影響が小さく($\phi_0 = 19^\circ \sim 23^\circ$)、しらすとの ϕ_0 は不織布の種類の影響が大きい($\phi_0 = 29.5^\circ \sim 44^\circ$)。また

しらすの ϕ_0 は $D_r=30\%$ と 80% で大差なく、しらすの相対密度の影響は小さい。しらすの ϕ_0 は $D_r=80\%$ の方が $D_r=30\%$ より大だから $\tan \phi_0/\tan \phi$ は常に $D_r=30\%$ の方が $D_r=80\%$ より大きくなる(図-2)。それぞれの不織布について注目すると、しらすに対してSNは他の3種の不織布と異なり c_0 が大きく、 ϕ_0 が小さい傾向が見られ、その他の3種(TE, TU, TR)は、 c_0 が微小で ϕ_0 が大きくなっている。これはTE, TU, TRの表面形状が似ているためこの3種の c_0, ϕ_0 の傾向も同じ様な傾向になると考えられる。

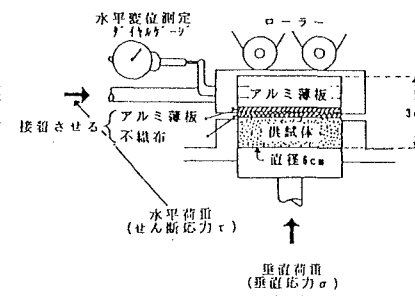
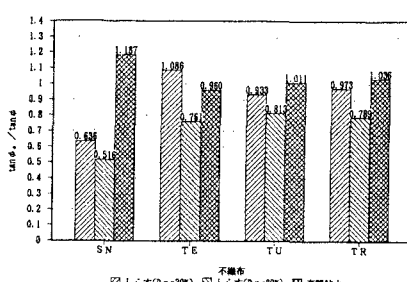


図-1 一面せん断箱の拡大図

表-1 粘着力と内部摩擦角

上材	しらす		有明粘土	
	$D_r = 30\%$	$D_r = 80\%$	$D_r = 30\%$	$D_r = 80\%$
不織布	$c_0 (\text{kgf/cm}^2)$	$\phi_0 (\text{度})$	$c_0 (\text{kgf/cm}^2)$	$\phi_0 (\text{度})$
SN	0.268	29.54	0.467	29.570
TE	0.014	44.866	0.150	39.913
TU	0.141	39.766	0.055	41.196
TR	0.085	40.940	0.221	40.911
	$c (\text{kgf/cm}^2)$	$\phi (\text{度})$	$c (\text{kgf/cm}^2)$	$\phi (\text{度})$
土試料のみ	0.055	41.718	0.071	47.696
				0.009
				19.748

図-2 $\tan \phi_0/\tan \phi$ 比較グラフ

3. 複合ジオテキスタイルの引抜き特性

3. 1 実験装置ならびに実験材料

引抜き試験装置を図-3に示す。また、実験材料として、ジオグリッドにはGS2、GR2、不織布にはSN、TE、TU、TR、試料には豊浦砂($D_r=30\%$)を用いた。なお複合ジオテキスタイルの寸法およびひずみ測定位置を図-4に示す。

3. 2 実験方法ならびに実験条件

圧密過程においては、垂直応力載荷後、鉛直変位の収束を確認する。引抜き過程においては、変位速度を一定とし、ジオグリッドの部材内応力測定のため、図-4に示す位置にひずみゲージを貼付している。実験条件は、表-3に一括して示す。

3. 2 実験結果と考察

土試料の相対密度の違いによる引抜き摩擦強さに及ぼす影響を見るためジオテキスタイル単体、複合ジオテキスタイルの引抜き摩擦強さと垂直応力の関係図を図-5に示す。豊浦砂($D_r=30\%$)と豊浦砂($D_r=80\%$)の引抜き摩擦強さは、豊浦砂($D_r=80\%$)の方が大きくなっている。これは、インターロッキング効果に起因する強度増であると考えられる。又、ジオテキスタイル単体と複合ジオテキスタイルについて比較すると、 σ_v が 0.5 kgf/cm^2 の時の引抜き摩擦強さは、TUについてはジオテキスタイル単体よりも同じか若しくはそれより大きくなっているが、TRについてはジオテキスタイル単体より小さくなっている。これはTRを敷設することによってジオテキスタイル単体よりインターロッキング効果が低減するものと考えられる。

表-3 実験条件

土供試体	豊浦砂($D_r=30\% \cdot D_r=80\%$)
ジオテキスタイル	GR2
複合ジオテキスタイル	GR2+TU GR2+TR
鉛直上載圧(kgf/cm^2)	$\sigma_v = 0, 0.1, 0.3, 0.5$
引抜き速度	一定 (10mm/min)

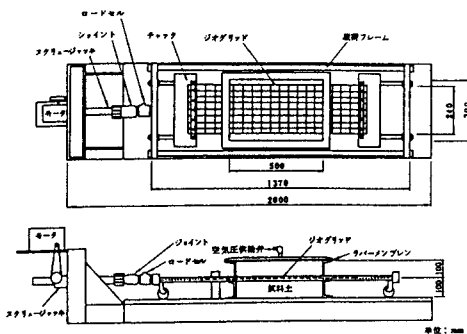


図-3 引抜き試験装置

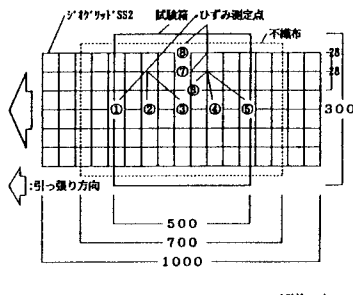


図-4 ひずみ測定位置

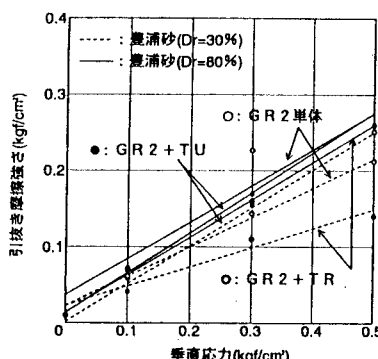


図-5 引抜き摩擦強さと垂直応力の関係

〈謝意〉 本研究を進めるに当たり、一面せん断試験機は、長崎大学地域共同センターにお借りした。また、安田進先生（東京電気大学）には、引抜き試験機を提供して頂いた。ここに記して深甚の謝意を表する次第である。

〈参考文献〉 1) 『ジオグリッド工法』 ガイドライン、ジオグリッド研究会、pp. 100-143, 1990.

2) 土木学会西部支部平成6年度研究発表会講演概要集、秋月・棚橋・他：不織布の摩擦特性と複合ジオテキスタイルの引抜き抵抗特性、 pp. 438-439, 1995.